

# VYSOKÉ UČENÍ TECHNICKÉ V BRNĚ

BRNO UNIVERSITY OF TECHNOLOGY

FAKULTA INFORMAČNÍCH TECHNOLOGIÍ  
ÚSTAV POČÍTAČOVÉ GRAFIKY A MULTIMÉDIÍ

FACULTY OF INFORMATION TECHNOLOGY  
DEPARTMENT OF COMPUTER GRAPHICS AND MULTIMEDIA

## DETEKCE DOPRAVNÍCH ZNAČEK

BAKALÁŘSKÁ PRÁCE  
BACHELOR'S THESIS

AUTOR PRÁCE  
AUTHOR

MICHAL JURČA

BRNO 2015



**VYSOKÉ UČENÍ TECHNICKÉ V BRNĚ**  
BRNO UNIVERSITY OF TECHNOLOGY



**FAKULTA INFORMAČNÍCH TECHNOLOGIÍ**  
**ÚSTAV POČÍTAČOVÉ GRAFIKY A MULTIMÉDIÍ**

FACULTY OF INFORMATION TECHNOLOGY  
DEPARTMENT OF COMPUTER GRAPHICS AND MULTIMEDIA

## **DETEKCE DOPRAVNÍCH ZNAČEK**

ROAD SIGN DETECTION

### **BAKALÁŘSKÁ PRÁCE**

BACHELOR'S THESIS

### **AUTOR PRÁCE**

AUTHOR

**MICHAL JURČA**

### **VEDOUCÍ PRÁCE**

SUPERVISOR

**Ing. VÍTĚZSLAV BERAN, Ph.D.**

BRNO 2015

## Abstrakt

Tato bakalářská práce se zabývá detekcí dopravních značek v obraze se zaměřením na klasifikaci dopravních značek. Nejprve budou představeny stručně dostupné řešení, použité datové sady a metody zabývající se objektovými příznaky. V dalším kroku budou popsány postupy pro vytvoření modelu a následně jeho trénování pomocí klasifikátoru typu support vector machines. Nakonec budou popsány metody pro vyhodnocení modelu a zhodnoceny dosažené výsledky.

## Abstract

This bachelor' thesis deals with the detection of traffic signs from image, focusing on the classification of traffic signs. First will be presented shortly available solution, used data sets and methods of dealing with object-signs. The next step will describe the procedures for creating a model and then his training classifier using Support Vector Machines. Finally they will be described a method for evaluation of the model and the evaluated results.

## Klíčová slova

dopravní značky, klasifikace, support vector machines, kaskádový klasifikátor, trénování, LIBSVM

## Keywords

traffic signs, classification, support vector machines, cascade classifier, training, LIBSVM

## Citace

Michal Jurča: Detekce dopravních značek, bakalářská práce, Brno, FIT VUT v Brně, 2015

# Detekce dopravních značek

## Prohlášení

Prohlašuji, že jsem tuto bakalářskou práci vypracoval samostatně pod vedením Ing. Vítězslava Berana, Ph.D.

.....

Michal Jurča  
19. května 2015

## Poděkování

Rád bych poděkoval vedoucímu bakalářské práce panu Ing. Vítězslavu Beranovi, Ph.D, za jeho vedení, trpělivost, konzultace a pomoc při tvorbě této práce. Dále bych chtěl poděkovat Janovi Duškovi za poskytnuté výstupy jeho bakalářské práce.

© Michal Jurča, 2015.

*Tato práce vznikla jako školní dílo na Vysokém učení technickém v Brně, Fakultě informačních technologií. Práce je chráněna autorským zákonem a její užití bez udělení oprávnění autorem je nezákonné, s výjimkou zákonem definovaných případů.*

# Obsah

<b>1</b>	<b>Úvod</b>	<b>2</b>
<b>2</b>	<b>Detekce dopravních značek</b>	<b>3</b>
2.1	Dopravní značení . . . . .	3
2.2	Detekce dopravních značek . . . . .	4
2.3	Datové sady . . . . .	5
2.4	Procedura trénování a testování . . . . .	7
<b>3</b>	<b>Obrazové příznaky</b>	<b>9</b>
3.1	Předzpracování obrazu . . . . .	9
3.2	Haarovy příznaky . . . . .	10
3.3	Integrální obraz . . . . .	11
3.4	Histogram orientovaných gradientů . . . . .	11
<b>4</b>	<b>Klasifikace a modely</b>	<b>13</b>
4.1	Použité knihovny . . . . .	13
4.2	Vytvoření modelu . . . . .	14
4.3	Klasifikátory . . . . .	15
4.4	Support Vector Machines . . . . .	17
4.5	Implementace . . . . .	18
<b>5</b>	<b>Experimenty a vyhodnocení</b>	<b>21</b>
5.1	Metriky pro vyhodnocení kvality modelu . . . . .	21
5.2	ROC křivka . . . . .	23
5.3	Vyhodnocení . . . . .	25
5.4	Experimenty . . . . .	27
<b>6</b>	<b>Závěr</b>	<b>29</b>
<b>A</b>	<b>Obsah DVD</b>	<b>32</b>
<b>B</b>	<b>Plakát</b>	<b>33</b>

# Kapitola 1

## Úvod

Už od 20.století s rozmachem automobilového průmyslu rostla potřeba detekce dopravních značek. Nyní s rozvojem počítačů jsou do automobilů implementovány vestavěné a počítačové systémy, které umožňují detekovat a klasifikovat dopravní značky. Systém může tak detekovat hrozící nebezpečí. S rozvojem autonomních vozidel bude potřeba detekce dopravních značek stále požadována.

Dnešní počítačové systémy v automobilu hlídají skoro všechno, jestli je řidič připoutaný, neusíná a dává pozornost. S rozvojem techniky dnešní systémy umožňují noční vidění, sledování chodců a dopravních značení. A posledním bodem se bude ve své práci zabývat. Detekcí dopravních značek.

V druhé kapitole této práce bude popsána historie dopravního značení od samotného začátku až po současnost. Následně budou představeny existující řešení a použité datové sady. V následující kapitole budou popsány algoritmy pro zpracování obrazu. Ve čtvrté kapitole se budu zabývat vytvořením modelu pro trénování a volbou vhodného klasifikátoru. Následně bude popsáno trénování klasifikátoru, volba vhodných parametrů a implementace kaskáda klasifikátorů. Další kapitola bude věnovaná představením charakteristik pro vyhodnocení natrénovaného modelu. A následně pomocí charakteristik budou diskutovány dosažené výsledky. Závěr kapitoly bude věnován experimentům. V poslední kapitole provedu zhodnocení řešení a představím návrhy na vylepšení.

## Kapitola 2

# Detekce dopravních značek

V této kapitole budou popsány dopravní značky, použité datové sady, existující řešení a na závěr popis procedury trénování a testování.

### 2.1 Dopravní značení

V dávných dobách funkci dopravního značení plnily pouze jen stopy, vyšlapané pěšiny a vyjeté koleje od vozů nebo koní. Již v Pompejích v době před 2 tisíci lety se objevily patníky, které oddělovaly peší zónu od ulice. Objevil se zde i přechod pro chodce v podobě vyvýšeného chodníku oproti silnici. Později Římané začali značit cesty pomocí svislých kamenů vyznačující vzdálenost od Říma. Ve středověku se pokračovalo ve značení směrů a vzdáleností. V roce 1868 byl použit první primitivní mechanický semafor. Potřeba dopravních značek vzrosla s rozmachem automobilního průmyslu ve 20.století. Od roku 1924 se koná každé čtyři roky silniční kongres, ale i přes veškeré snahy se dodnes nepovedlo všechny dopravní značky sjednotit.

V Československu v roce 1935 bylo zavedeno dopravní značení s pěti druhů výstražných značek. O pár let později přibýly další dopravní značky a byl zaveden pravostranný silniční provoz. Rychlost jízdy v obci nesměl být vyšší než rychlost koně v poklusu. Jelikož v té době, reflexní folie ještě nebyly, připevňovaly se ně odrazky pro dostatečnou viditelnost v noci. V současnosti se prosazují elektronické a proměnné dopravní značení, které se využívají při regulaci dopravy a zajištění plynulého a bezpečného provozu. V reálném čase poskytují řidiči informaci o výskytu dopravní nehody, zhoršeném počasí na konkrétních úsecích nebo provádění údržbových prací. Dále se prosazuje osvětlení značek s časovým ovládáním, které se využívá zejména u škol a používá se reflexní žlutozelené orámování.

Dopravní značky jsou jednoduché piktogramy určené pro řízení a regulaci silničního provozu na pozemních komunikacích. Jedná se o zařízení, které upozorňuje řidiče na nebezpečná místa, ukládá jim příkazy, zákazy nebo omezení, poskytuje jim zpřesnění nebo inforace, doplňuje nebo omezuje význam jiní dopravní značky. Rozlišují se dopravní značky svislé nebo vodorovné.

Podle zákona o provozu na pozemích komunikacích §63 odst. 1 svislé dopravní značky jsou:

- výstražné značky, které upozorňují na místa, kde účastníku provozu na pozemních komunikacích hrozí nebezpečí a kde musí dbát zvýšené opatrnosti
- značky upravující přednost, které stanoví přednost v jízdě v provozu na pozemních komunikacích

- zákazové značky, které ukládají účastníku provozu na pozemních komunikacích zákazy nebo omezení
- příkazové značky, které ukládají účastníku provozu na pozemních komunikacích příkazy
- informativní značky, které poskytují účastníku provozu nutné informace, slouží k jeho orientaci nebo mu ukládají povinnosti stanovené tímto zákonem nebo zvláštním právním předpisem
- dodatkové tabulky, které zpřesňují, doplňují nebo omezují význam dopravní značky, pod kterou jsou umístěny.

V úloze detekce dopravních značek, se používá kromě dělení podle typu taky dělení podle tvaru, který může být určen čtvercem, kruhem, trojúhelníkem, osmiúhelníkem a obdelníkem. Tvar a velikost jsou pevně definovány a nesmí se měnit.

Kompletní přehled všech dopravních značek a více informací o dopravním značení lze nalézt na stránkách Ministerstva dopravy.

## 2.2 Detekce dopravních značek

Detekcí a klasifikací dopravních značek se zabývají vědecké skupiny a stále vytvářejí nové postupy, pro přesnější a rychlejší detekování a klasifikování značek. Dostupné řešení může být použito v autonomním vozidlech. Detekce značek by se dala rozdělit do 4 skupin - barevná segmentace, detekce tvarů, extrakce příznaků a klasifikace.

### Barevná segmentace

Při barevné segmentaci se využívá, že mají značky zákonem definovanou barvu. A dochází tedy k výběru oblastí s barvou určené dopravními značkami. Nejčastěji červená, žlutá a modrá.

Toho využívají autoři práce [8] ke segmentaci používají barevný model HSV, který je popsán v kapitole 3.1. Vytváří se dvě LUT tabulky na základě získaných barevných složek z modelu a to barevný tón a sytost. Po vytvoření tabulek jsou snímky normalizovány na maximální hodnotu 255. V následujícím kroku jsou využívány genetické algoritmy pro vyhledání a určení pozice dopravní značky v obraze. Autoři použili klasifikátor neuronové sítě se dvěma vrstvami.

Řešení bylo testováno na stroji s AMD Duron o 1 GHz. Úspěšnost detekování dopravní značky činila 70%-90%.

Dalším řešením, které využívá segmentaci je práce od Hassan Shojania [16], která se skládá ze čtyř hlavních fází - barevná segmentace, detekce hran, detekce tvaru a klasifikace. Segmentace je založena na převedení vstupního obrázku do binárního obrázku. Autor sestavil řadu filtračních masek k nalezení rohů v obraze. Následně je snímek dál zpracováván a testován jestli splňuje tvar dopravní značky. Klasifikátorem jsou použity neuronové sítě 4.3. Metoda je úspěšná pro detekci kruhových červených značek, čtverců, trojúhelníků a osmiúhelníků. Ale má jistá omezení, snímky se nesmí otáčet a je povolen jen menší náklon z hlediska pozice kamery. V podstatě stejný náklon jako to, co řidič vidí normálně.



## Detekce tvarů

Metody založené na detekci tvarů jsou více stabilní a neovlivňují podnební podmínky.

oho využívají autoři práce [14]. Práce detekuje a rozpoznává evropské a americké výstražní značky. Model je založený na rozpoznávání kruhu nebo trojúhelníku. Pro rozpoznávání potencionální oblasti umístění značky používá šedotonový obraz a Houghovy transformace. Klasifikátorem jsou použity neuronové sítě a na rozpoznávání číslíc se používá ODR. Datová sada byla manuálně vytvořena z dopravních značek Francie a Ameriky.

Úspěšnost při detekování dosahovala přibližně 90%. Program zpracovával přibližně 20 snímků/s.

## Klasifikace

Klasifikace slouží k určení jestli tam dopravní značka je nebo není a taky se používá k určení typu dopravní značky. Následující dvě práce využívají klasifikátor AdaBoost.

Autoři vycházejí ze svého výzkumu [1] detekce osob. Z analyzovali víc jak 40 detektorů použitých během posledních 10 let a na základě nasbíraných zkušeností vytvořili vlastní detektor, který předčil ostatní. A patří nyní k nejlepším řešení na vědecké úrovni. Detektor je založen na klasifikátoru Adaboost, který je popsán v kapitole ???. Klasifikátor je složen ze slabých učících se dvoudimenzionálních stromů, kde každý uzel je jednoduchý rozhodující prvek, definovaný trojúhelníkovou oblastí, kanálem a prahováním.

K natrénování detektoru autoři použili Quad-Core AMD Opteron 8360 SE s 64GBBytes RAM. Vstupní snímky byly zmenšeny na 28x28 pixelů a převedeny na šedotonový obraz. Jako datové sady byly použity Německé dopravní značky [12] a Belgické dopravní značky [19], které dohromady obsahují více jak pět tisíc dopravních značek. Detekování značek trvalo 45 minut a byl použit Intel Core i7 870 o 2.5 MHz společně s Nvidia GeForce GTX 470 GPU.

Úspěšnost řešení dosahovala 96 %-99 %. Metoda dosahuje nejlepších výsledků, ale při detekci a datových sadech se neuvažuje vliv nepříznivých povětrnostních podmínek např. snůh, déšť, mlha, noc.

Autoři této práce [15] trénují a rozpoznávají Japonské dopravní značky. Využívají barevný model HSV s využitím klasifikátoru AdaBoost a integralní obraz . K natrénování metody autoři použili 4125 značek , k detekci použili 9036 značek. Vstupní obrázky byly zmenšeny na rozměr 60 x 60 pixelů.

K rozpoznání dopravních značek bylo použito 210 značek, které autoři pořídili sami při rychlosti 40 až 70 km/h s rozlišením videa 640 x 480. Úspěšnost rozpoznání dosahovala v rozmezí 80%-97%.

## 2.3 Datové sady

V této sekci budou popsány datové sady, které byly použity nebo vytvořeny pro testování, trénování SVM a vyhodnocení navržených experimentů. Nejprve bude popsána datová sada GTSRB, kterou jsem jako první používal ve své práci, jelikož součástí byly vypočítané vektory descriptů. Následně bude popsána datová sada Belgických dopravních značek, ze které jsem si pro potřebu trénování SVM vytvořil vlastní negativní datovou sadu. A závěr kapitoly bude věnován vytvoření vlastní datové sadě s Evropských dopravních značek.



Obrázek 2.1: Datová sada GTSRB

### Datová sada GTSRB

Datová sada GTSRB (**German Traffic Sign Detection Benchmark**) [18] je tvořena německými dopravními značkami z různých regionů Německa pořízených z autokamery. Snímky byly pořízeny během dne, ale také ve večerních hodinách. Jednotlivé snímky značek jsou realizovány pomocí výřezů o velikosti mezi 15x15 až 250x250 pixelů. Dopravní značka není přesně umístěna ve středu snímku a okolí značky je tvořeno minimálně z 10% z celkového obsahu plochy obrázku. Obrázky jsou uloženy ve formátu *ppm*.

Sada obsahuje celkem 39 209 výřezů pro trénování rozdělených do 43 tříd podle typu značky. Snímky lze rozdělit na čtyři skupiny podle typu značky: zákazové, příkazové, výstražné a upravující přednost. Na obrázku 2.1 jsou zobrazeny snímky, které jsou rozmazané, odlišné velikostí a pořízené v různou denní dobu.

K dostupným výřezům jsou k dispozici také vypočítané vektory deskriptorů pro histogram orientovaných gradientů, který je popsán v kapitole [odkaz]. Snímky byly zmenšeny na velikost 40x40 pixelů. Velikost buňky byla nastavena na 5x5 pixelů, posunutí 5x pixelů v obou směrech a velikost výsledného vektoru deskriptoru nastavena na 1568.

Součástí datové sady je anotace uložená ve formátu *csv*, která obsahuje tzn. *groundtruth*. Informace jsou odděleny pomocí „;“ a jsou složeny z jména souboru, šířky snímku, výšky snímku, souřadnicemi dopravní značky a číslem zařazení do třídy 0 do 42.

Společně s trénovací datovou sadou je dodána i testovací sada, která obsahuje 12 569 snímků. Testovací sada dodržuje stejné rozvržení jako trénovací sada.

### Datová sada BelgiumTSC

Datová sada BelgiumTSC (**Belgium Traffic Sign Classification Benchmark**) [19] obsahuje 4 591 výřezů pro trénování a 2 534 výřezů pro testování. Snímky jsou rozděleny do 62 tříd podle typu značek. Datová sada dodržuje stejnou strukturu jako datová sada GTSRB, akorát neobsahuje vypočítané vektory deskriptorů.

Součástí datové sady je i sada obrázků, které tvoří pozadí respektive, kde není dopravní značka. Sada obsahuje 20 550 snímků, které byly pořízeny pomocí kamery z auta. Snímky zachycují běžný silniční provoz a ulice. Dále jsou obsaženy snímky stromů, lidí, domů, reklamních ploch a další.

Z datové sady pozadí si vytvářím vlastní negativní datovou sadu pro trénování kaskády SVM o velikosti 40 000 výřezů a pro testování o velikosti 20 000 výřezů. K tomuto účelu je využit script *create\_neg.py*, který z vybraného snímku vyřízně vždy 5 výřezů. Pozice výřezu ze snímku, je vždy náhodně generována a výsledný výřez má také náhodně generovanou velikost v rozmezí 50 až 300 pixelů. Z důvodu zabránění generování podobných hodnot, je daný rozsah rozdělený na pět částí, vždy s rozdílem 50 pixelů. A z každé vzniklé skupiny, je vždy pořízený jeden výřez. Každá pětice výřezů je vždy umístěna do jednoho adresáře.



Obrázek 2.2: Datová sada BelgiumTSC



Obrázek 2.3: Datová sada Evropských dopravních značek

Na obrázku 2.2 v horní řadě jsou zobrazeny mnou vytvořeny negativní snímky a ve spodní řadě jsou zobrazeny výřezy značek, které jsou použity pro trénování SVM.

### Datová sada evropských dopravních značek

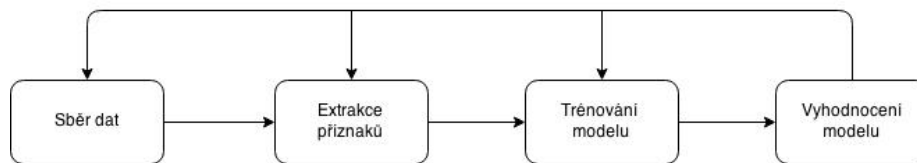
Jelikož není dostupná datová sada pro Českou Republiku, vytvořil jsem si vlastní datovou sadu z Evropských dopravních značek. Získané snímky tvoří jenom dopravní značku bez okolí. Ale nejprve pomocí scriptu *eu.py* jsou obrázky roztrženy do tříd podle vzoru datové sady GTSRB. Ke správnému roztržení značek jsou implementovány metody ve třídě *Sort*. V dalším kroku se přidává k obrázkům pozadí, které bylo vygenerováno pomocí scriptu *create\_neg.py*. Pro vložení dopravní značky do výřezu obrázku s okolím, je nutné nejdříve vytvořit masku značky pomocí funkcí *threshold* a *bitwise\_not* z OpenCV [odkaz na kapitolu]. Pomocí funkce *add* z OpenCV je vzniklá maska přidána ke snímku s okolím. K takto vzniklému výřezu se vytváří i anotace ve stejném formátu jako v datové sadě GTSRB, která je popsána v sekci 2.3.

Na obrázku 2.3 jsou zobrazeny vytvořené výřezy dopravních značek. Značky jsou rozděleny celkem do 106 tříd a obsahují celkem 2332 snímků.

## 2.4 Procedura trénování a testování

Postup trénování a testování je znázorněn na obrázku 2.4. Řešení se skládá ze čtyř bloků - sběr dat, extrakce příznaků, trénování modelu a vyhodnocení. Na základě vyhodnocení natrénovaného modelu bude zřejmé jak je model kvalitní či nikoliv. V případě neuspokojivých výsledků je vhodné se v procesu vrátit, na základě vyhodnocení upravit určitý krok. A následně zopakovat od toho kroku celý postup až po vyhodnocení. Z návrhu je patrné, že nalezení kvalitního modelu je časově náročné.

Prvním krokem pro detekci objektů v obraze je sběr dat. Příprava dat je časově nejnáročnější a nejobtížnější krok celého procesu. Současně je to ale krok, který má klíčový význam pro úspěch výsledné aplikace. Je vhodné mít dostatečně velkou datovou sadu hledaných ale i nehledaných objektů. V případě bude-li datový set tvořen např. z 95% pozitivních objektů a zbylých 5% negativních objektů. Bude výsledný systém při testování



Obrázek 2.4: Blokové schéma procedury trénování a vyhodnocení

dávat velmi dobré výsledky pro hledané objekty, ale negativní sadu může model klasifikovat jako hledané objekty. A při tak malé negativní datové sadě, se ve výsledku natrénovaný model může chybně považovat za kvalitní. K zabránění tomuto nežádoucímu stavu se snaží předejít pomocí různých metod vyhodnocení modelu, které jsou popsány v kapitole 5.1.

Ve své práci se nezabývám implementací extrakce příznaků. Nejprve jsem používal dodané descriptory v datové sadě a následně jsem využíval výstupu programu Jana Duška. Který descriptory histogramu orientovaných gradientů generoval pomocí knihovny OpenCV s nastavením: velikost bloku- 10x10 pixelů , velikost buňky- 5x5 pixelů, s posunutím bloku při normalizaci o 5 pixelů v obou směrech, spočtem 8 kanálů v buňce a normalizací L2Hys s hranicí 0,5.

Popis dalších kroků v procesu je popsán v následujících kapitolách.

## Kapitola 3

# Obrazové příznaky

V této kapitole budou popsány algoritmy pro zpracování obrazu a extrakci příznaků

Účelem extrakce příznaků je získání informace z obrazu. Získané hodnoty jsou pak vstupem klasifikátoru.

### 3.1 Předzpracování obrazu

V této sekci budou popsány 3 barevné modely, které se využívají při výběru oblastí pravděpodobného výskytu dopravní značky. Budou zde diskutovány jejich výhody a nevýhody.

Při psaní této kapitoly jsem vycházel z knihy zabývající se počítačovou grafikou [21] a zpracování obrazu [5].

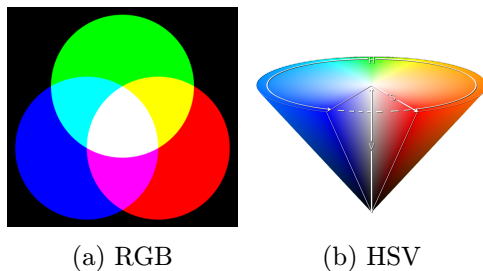
#### Model RGB

Barevný model RGB se často používá pro výběr oblastí pravděpodobného výskytu značky. Model je složen ze tří složek - červené (**R**, red), zelené (**G**, green) a modré (**B**, blue), které udávají barvu jednoho bodu. Smícháním všech barevných složek vznikne bílá barva. Další barevné kombinace lze získat adaptivním smícháním těchto základních barev, které lze vidět na obrázku odkaz. Tento model je jeden z nejpoužívanějších modelů a využívá na zobrazovacích zařízeních, jako LCD monitory, plasmové televize apod. Barevný model je reprezentován krychlí.

Nevýhodou tohoto modelu je jeho závislost na světelných podmínkách. To se nehodí při výběru oblastí. Snímky pořízené za různého počasí nebo v různou denní se budou lišit. Jedním z řešení je použití jiného barevného modelu např. HSV, který bude popsán v následující kapitole 3.1, který odděluje informace o barvě od informace o jasové složce daného bodu.

#### Model HSV

Barevný model HSV (případně HSL) je dalším často využívaným modelem pro výběr oblastí s pravděpodobným výskytem dopravní značky. Tento model může být náhradou za model RGB. Umožňuje totiž oddělovat informace o barvě od informace o jasové složce daného bodu a může být odolný vůči změně světelných podmínek. Opět je barva bodu určena třemi složkami, ale mají zde jiný význam než u RGB modelu. Složky - barevný tón (**H**, hue), sytost (**S**, saturation) a jasová hodnota (**V**, value). Barevný tón označuje převládající spektrální barvu, sytost určuje příměs jiných barev a jas je dán množstvím bílého světla.



Obrázek 3.1: Ukázka modelu HSV a adaptivní míchaní modelu RGB

Nevýhodou tohoto modelu je, že musí být převeden z modelu RGB. Převod se provádí na základě rovnic 3.1

$$\begin{aligned}
 R, G, B \in < 0, 1 > \quad MAX = \max(R, G, B), \quad MIN = \min(R, G, B) \\
 H = \begin{cases} (0 + \frac{G-B}{MAX-MIN} \times 60, & \text{pokud } R = MAX \\ (2 + \frac{B-R}{MAX-MIN} \times 60, & \text{pokud } G = MAX \\ (4 + \frac{R-G}{MAX-MIN} \times 60, & \text{pokud } B = MAX \end{cases} \quad (3.1) \\
 S = \frac{MAX-MIN}{MAX} \\
 V = MAX
 \end{aligned}$$

Pro popis zobrazení barev v modelu HSV je zde použit šestiboký jehlan umístěný do souřadnicového systému takovým způsobem, že vrchol jehlanu je v počátku a osa jehlanu je shodná se svislou osou, která znázorňuje úroveň jasu. Barevný tón je definován jako velikost úhlu, který může nabývat hodnot 0-360°. Sytost a jas, které jsou umístěny na vodorovné ose, se mění v intervalu  $< 0, 1 >$ . Další nevýhodou toho modelu je, že přechod mezi bílou a černou barvou není plynulý a pohyb barevného tónu se neodehrává po kružnici, ale po šestiúhelníku. Změna barevného tónu není plynulá

### Šedotónový obraz

Z jedním důvodů převedení obrazu do odstínů šedi, může být, že se v šedotónovém obrazu hledají hrany, které jsou potřeba pro následné rozpoznávání objektů. Nebo dalším důvodem může být tvorba uměleckých fotografií. Barva bodu je reprezentována pouze jednou hodnotou a ne třemi jako u RGB modelu 3.1. Proto je často využíván při výběru oblasti pro svou jednoduchost. Lidské oko je různě citlivé na jednotlivé složky RGB a nelze tak sečíst jednotlivé složky, ale je nutný převod pomocí empirického vztahu:

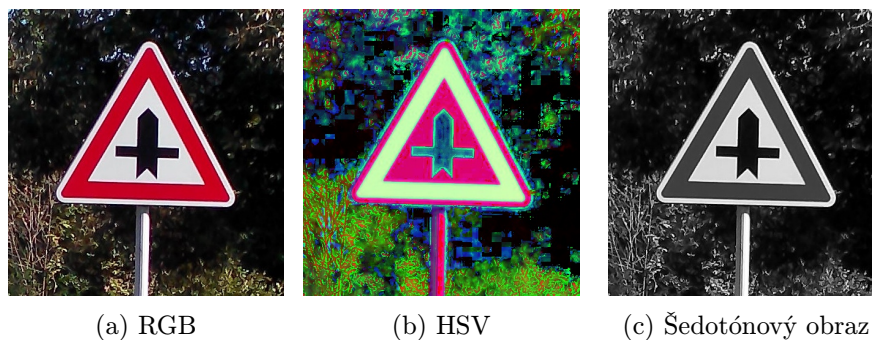
$$f = 0.299R + 0.587G + 0.114B \quad (3.2)$$

Kde  $f$  je výsledná úroveň jasu v šedotónovém obraze a hodnoty  $R, G, B$  jsou hodnoty z modelu RGB. Na obrázku je ukázka převodu z modelu RGB na šedotónový obraz.

## 3.2 Haarovy příznaky

Haarovy příznaky též znány pod názvem Haarovy vlnky, které jsou založeny na rozdílu jasu mezi obdélníkovými oblastmi. Byly použity v práci Viala & Jones [20].





Obrázek 3.2: Ukázka převodu barevných modelů

Hodnota příznaku je získána z obrazu s vypočítáním suma pixelů obrazu odpovídající bílé části. A suma pixelů v černé části. Tyto hodnoty jsou pak ode sebe odečteny. Ten to postup je značně časově náročný a proto se používá integrální obraz [3.3](#).

### 3.3 Integrální obraz

Integrální obraz (summed area table) se používá jako rychlý a efektivní způsob výpočtu součtu hodnot v obdelníkové oblasti v daném obrazu. Integrální obraz se používá při posledním kroku extrakce příznaků, protože je extrakce často časově náročná kvůli častým přístupům do paměti. Tato metoda byla použita v práci [\[20\]](#) pro rychlou extrakci příznaků pro detekci obličejů.

Výpočet integrálního obrazu pro pixel o souřadnicích (x,y) se provede pomocí vzorečku [3.3](#). Jedná se tedy o sumu hodnot jednotlivých pixelů v obdelníku, který je podmnožinou původního obrázku.

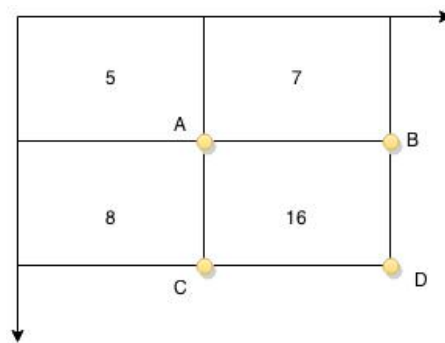
$$I(x, y) = \sum_{x' \leq x, y' \leq y} i(x', y') \quad (3.3)$$

Integrální obraz lze spočítat jediným průchodem původního obrazu v konstantním čase. Složitost  $O(1)$ . Výpočet hodnoty sumy zabere vždy pouze 4 přístupy do paměti. Například pro výpočet hodnoty sumy na obrázku stačí znát oblasti určené body A, B, C, D odpovídajícího integrálního obrazu. Pro výpočet stačí tři aritmetické operace sčítání a odčítání:

$$i(x', y') = s(A) + s(D) - s(B) - s(C) = 5 + 16 - 7 - 8 = 6 \quad (3.4)$$

### 3.4 Histogram orientovaných gradientů

Myšlenkou histogramu orientovaných gradientů je, že hledaný objekt v obraze, lze pomocí tvaru a vzhledu popsat intenzitou gradientu. A lze použít pro rozpoznávání objektů a klasifikaci. V případě kdy objekty nemění své natočení v obraze. Histogram gradientů lze počítat i z černobílých obrazů, ale tím se získá jenom jedna hodnota. A nebo lze počítat i pro barevný obraz, kde se počítá pro každou barevnou složku zvlášť. Obraz se rozdělí na malé oblasti - buňky a pro každou buňku je vypočítáný jednorozměrný histogram, který se počítá pro všechny pixely z buňky. Obraz před výpočty je vhodné znormalizovat. Shromažďováním informací z buňky, ale i z okolí vzniká tzv. blok.



Obrázek 3.3: Integrální obraz

Celý obraz je tedy rozdělen do bloků o stejné velikosti a vzniklé buňky jsou nositely hodnot. Při výpočtu histogramu s využitím kruhové nebo pravoúhlé oblasti je nutné rozdělit vypočítaný úhel na několik rozsahů. Velikostí rozsahů se může docílit a přijetí malého natočení klasifikovaného objektu.



## Kapitola 4

# Klasifikace a modely

V této kapitole budou popsány použité knihovny, postupy pro vytvoření trénovacího modelu a následně klasifikátory, které se nejčastěji používají pro detekci dopravních značek. Závěr kapitoly bude věnován trénování SVM a implementaci výsledného programu.

Informace jsem čerpal z [17] a [6].

### 4.1 Použité knihovny

Pro implementaci mé práce jsem využil některé existující knihovny.

#### Knihovna OpenCV 2.4.10

Knihovna OpenCV je volně dostupná a multiplatformní knihovna pro práci s obrazem nebo s videem v reálném čase zameraná na algoritmy počítačového vidění. Dále poskytuje nástroje pro extrakci příznaků, rozpoznávání a klasifikaci nebo také podporu pro strojové učení - SVM, AdaBoost, neuronové sítě a další. Knihovna je implementovaná v jazyce C/C++ a poskytuje rozhraní pro jazyky C, C++, C#, Python, Java. Je distribuována pod BSD licenci.

Z možností knihovny jsem využil funkce pro načítání a ukládání obrázku. Vytvoření výřezu z obrázku a funkce pro vytvoření masky obrázku.

#### Knihovna LibSVM 3.20

Další knihovnou, kterou jsem používal, je knihovna LibSVM [4] verze 3.20, která je napsaná v jazyce C/C++ a je multiplatformní. Je vyvíjena na Národní Taiwanské univerzitě. Jedná se o knihovnu pro práci se support vector machines. Knihovna implementuje kernel funkce - lineární, polynomiální, RBF a sigmoidální. Ve své práci jsem využíval RBF kernelu.

Knihovna poskytuje binární soubory *svm-train* a *svm-predict* pro použití z příkazové řádky. Ve své práci jsem je využíval pro hromadné trénování při hledání nejvhodnějších parametrů. Dále jsem využíval některé funkce knihovny ve vlastním programu pro trénování modelu.

Více informací k LibSVM, lze získat v manuálu ke knihovně [3]

## 4.2 Vytvoření modelu

Při trénování modelu se většinou používá metoda učení s učitelem, kterou využívám ve své práci. Vychází se tedy z toho, že se učicímu algoritmu předají trénovací data, která jsou zařazena do odpovídajících tříd. Na testovacích datech se pak porovnává úspěšnost klasifikovaných hodnot z trénovacích dat. Metod testování je více, záleží jaká data se použijí pro testování a jaká pro trénování:

- testování v celých trénovacích datech
- křížová validace (cross-validation)
- bootstrap
- leave-one-out
- testování na testovacích datech.

Testování na datech, které byly použity pro učení klasifikátoru mají nejmenší vypovídající schopnost o tom, jak budou hodnotné znalosti získané z klasifikování nových zkoumaných dat. Při trénování na datech může často dojít k přeučení (overfitting) a může se tento stav snadno přehlédnout.

Testovací metoda křížová validace zamezuje překrývání testovacích dat. Data se rozdělí na  $K$  částí, kde část  $\frac{1}{K}$  se použije pro testování a zbylé data  $1 - \frac{1}{K}$  se použijí pro trénování. To se opakuje  $K$ -krát. Každá testovací část je použita právě jednou pro testování modelu vzniklého ze zbylých částí dat. Nejčastěji volená hodnota  $K$  bývá 10 nebo 30. Ve své práci využívám tu to metodu a kvůli časové náročnosti testování jsem zvolil hodnotu  $K = 3$ .

U metody bootstrap, která je podobná křížové validaci se mohou vybrané data pro učení použít vícekrát. Trénovací data se rozdělí v poměru 63,2% pro trénování a zbylých 36,8% pro testování

Metoda leave-one-out je taky podobná metodě křížové validace, ale narozdíl z dat o  $N$  vzorcích se vybere jenom jeden pro testování a zbytek  $N - 1$  se použije na trénování. Celý postup se provede  $N$ -krát. Tato metoda se obvykle používá na medicínských datech.

Testování na testovacích datech je nejvhodnějším způsobem ověření modelu. Problém můžu vzniknout při nedostatku dat.

### Vytvoření trénovacího modelu

Pro vyhodnocení natrénovaného modelu využívám metodu křížové validace, která je popsána v kapitole 4.2. Z časových důvodů vyhodnocení natrénovaných modelů jsem zvolil postup, který pomocí křížové validace s hodnotou  $K = 3$  rozdělí testovací a trénovací soubory na tři části. Pro vytvoření trénovacího modelu pro binární klasifikátor je vytvořen script *create\_bin\_input.py* a pro potřeby modelu klasifikátoru do více tříd je vytvořen script *create\_class\_input.py*.

Script pro binární klasifikátor očekává adresář s pozitivními descriptory příznaků a adresář s negativními descriptory. V případě scriptu pro klasifikátor do více tříd je očekáván jedinný adresář, ve kterém budou už descriptory příznaků rozdělené do tříd. Rozdělení descriptů příznaků na testovací a trénovací je implementován v metodě *split\_cross*. Metodě je předány parametry, kde jsou uloženy absolutní cesty souborů příznaků, hodnota zvolené křížové validace a hodnota udávající jaká část souborů bude použita pro testování. Script je

umožňuje vytvořit ve správném formátu soubory poddle zvolené hodnoty křížové validace. Výstupem scriptů jsou modely pro trénování a testování, které se uloží na pevný disk.

Oba scripty nejprve upraví vektory decriptorů snímku na požadovaný tvar knihovnou LibSVM 4.1. Převod do požadovaného formátu obstarává metoda *prepare\_data*, které jsou předány hodnoty decriptorů příznaků jednoho snímku. Metoda postupně iteruje předané hodnoty a přidává k hodnotě její načtené pořadí oddělené ":". Takto vzniklý řetězec, využívá metoda *format\_file.py*, která ještě před řetězec přidává třídu zařazení daného vzorku. Třída zařazení může být ovlivněna, jestli se jedná o binární klasifikátor nebo klasifikátor do více tříd. V případě binárního klasifikátoru hodnota pro hledané objekty bude +1 a v případě nehledaného objektu -1. Tomuto postupu odpovídá metoda *one-vs.-one (OvO)*. U klasifikátoru do více tříd je použita metoda *one-vs.-rest (OvR)*, která spočívá v tom, že zvolená třída bude označena kladně a zbylé třídy záporně. Třídy jsou označeny podle počtu tříd v daném adresáři.

Součástí scriptů jsou i metody, které umožňují dodatečné přidání negativních nebo pozitivních příznaků do výsledných modelů.

### 4.3 Klasifikátory

Úkolem klasifikátoru je přiřadit daný objekt k odpovídající třídě. Protože nelze získat často dokonalý klasifikátor a tak obecnějším úkolem je určení pravděpodobnosti pro každou třídu. Výstupem klasifikátoru v úloze detekce dopravních značek je tedy informace udávající jestli vstupní výřez obrazu je dopravní značka či okolí. Nebo může představovat konkrétní typ dopravní značky.

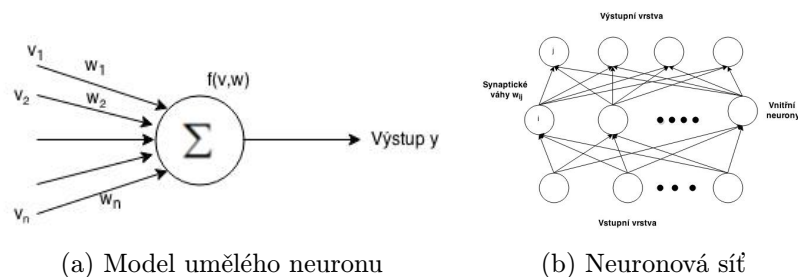
#### Neuronové sítě

Neuronové sítě jsou inspirovány biologickými neuronovými sítěmi. Základním prvkem je neuron na obrázku[odkaz na obrazek] je jeho model, který navrhli McCulloch a Pitts. Model obsahuje několik vstupů, které jsou ohodnoceny váhami a jedinný výstup. Činnost neuronu lze popsat matematicky. Vstupy jsou označeny  $v_1 - v_n$  a váhy  $w_1 - w_n$  a práh  $w_0$ . Bude-li potenciál, který se spočítá podle rovnice 4.1, větší než práh  $w_0$  tak neuron vyšle signál s hodnotou 1 a v opačném případě s hodnotou 0. Neuron je tímto schopen rozdělit prostor možných řešení pouze na dva poloprostory. Ve složitějších úlohách je toto řešení nedostatečné a proto se jednotlivé neurony uspořádávají do sítí neuronů. Neuronová síť je schopná řešit nelineární úlohy.

$$P = \sum_{i=1}^n v_i w_i \quad (4.1)$$

Nejrozšířenější způsob propojení neuronů jsou tzv. vícevrstvé sítě - několik vrstev neuronů je vzájemně propojených každý s každým. Příklad je uveden na obrázku[odkaz na obrazek]. Z obrázku je patrné, že obsahuje minimálně tři vrstvy neuronů- vstupní, výstupní a alespoň jednu vnitřní vrstvu. Vstupní vrstvě jsou předány signály, které přeposílá na všechny neurony. Následně se signály zpracovávají jako v předešlém kroku - sečtou se váhové vstupy a bude-li potenciál dost velký tak neuron vyšle signál. Výstupní vrstva předává informaci o rozhodnutí sítě a případně rozdělení do tříd.

Během učení neuronové sítě může dojít k uváznutí v lokálním minimu. Tento stav vzniká, když se síť nepodaří naučit s dostatečně malou chybou a v takovém případě se dosáhne určité hodnoty, která nadále přestane klesat. Řešením uváznutí v lokálním minimu je vhodnou



Obrázek 4.1: Neuronové sítě

volbou parametrů nebo vhodným počátečním nastavením vah. I přes tady tento nežádoucí stav se neuronové sítě používají často rozpoznávání dopravních značek.

## Boosting

Meto je založena na principu kombinování slabých klasifikátorů s horší úspěšností do jednoho výsledného kvalitního klasifikátoru. Slabý klasifikátor může být reprezentován rozhodovacím stromem, perceptronem a další. Omezujícím kritériem výběru je aby byla chybovost klasifikátoru menší než 0,5. Výsledný klasifikátor  $H(x)$  4.2 lze matematicky zapsat jako lineární kombinaci slabých klasifikátorů  $h_t(x)$ . Výsledný klasifikátor lineární není.

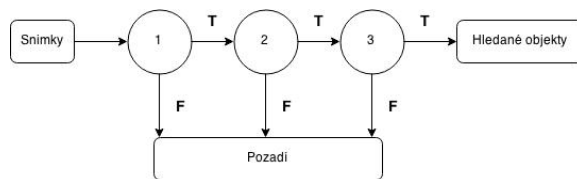
$$H(x) = \text{sign}\left(\sum_{t=1}^T \alpha_t h_t(x)\right)$$

V současnosti nejpoužívanější variantou metody boosting je AdaBoost (**adaptive boosting**). Metoda umožňuje při návrhu přidávat slabé žáky tak dlouho, dokud není splněna optimální hodnota klasifikační chyby. Každý trénovací vzorek dostane přidělenou váhu, která určí pravděpodobnost zařazení do trénovací množiny pro jednotlivé klasifikátory. Je-li vzorek klasifikován přesně, jeho opětovné zařazení do klasifikace klesá a v opačném případě roste. AdaBoost se zaměřuje na obtížné vzorky. Jeho funkce je definována následovně:

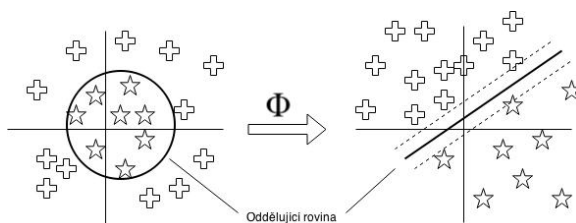
- Při inicializaci dostanou všechny vzorky stejné hodnoty vah. V každém iteračním kroku  $k$  se natrénuje klasifikátor  $C_k$
- V následujícím kroku je pro klasifikátor  $C_k$  proveden výpočet váhy klasifikátoru  $\alpha_k$ . Hodota váhy je závislá na trénovací chybě klasifikátoru.
- Pro chybně klasifikované vzorky se hodnota váhy zvýší a při správné klasifikaci se hodnota sníží.  $Z_k$  je normalizační konstanta.

## Kaskáda klasifikátorů

Myšlenka kaskádních klasifikátorů je mít sekvenčně seřazené slabé klasifikátory do jediného silného klasifikátoru. Např. práce Viola & Jones [20] na detekci obličejů je založena na skenování výřezů pomocí posuvného okna. Tím bude k detekci velká část vzorků, které nebudou patřit do hledaných tříd. Viola & Jones si uvědomili, že rychlost detektoru závisí na rychlosti klasifikace pozadí. Pomocí algoritmu AdaBoost je sestavena soustava slabých klasifikátorů, kterým byla nastavena nejvhodnější váha a výsledkem je pak kaskádový klasifikátor. Velká část výřezů je tak v každé úrovni kaskády zahozena a část výřezů, která je



Obrázek 4.2: Kaskáda klasifikátorů



Obrázek 4.3: SVM- transformace prostoru

klasifikována kladně, projde do další úrovně zpracování. Výřez, který projde až na konec kaskády je s velkou pravděpodobností hledaný obličej.

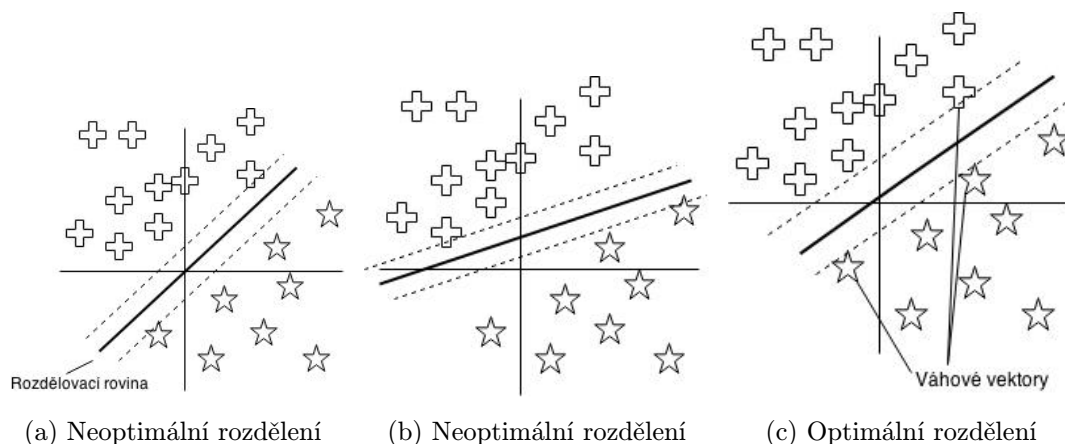
Na obrázku 4.2 je zobrazena architektura kaskády. Počáteční klasifikátory vyřadí velkou část negativních vzorků a pozitivní vyorky postupují k dalšímu zpracování. Většina negativních vzorků je vyřazena v počátečních úrovních kaskády a tím může v následujících fázích stoupnout výpočetní složitost klasifikace. Do poslední úrovně kaskády se dostane už jenom málo vzorků a celká klasifikace je velmi rychlá. Výstupem posleného klasifikátoru v kaskádě je pak hledaný objekt.

## 4.4 Support Vector Machines

Support Vector Machines (SVM) je klasifikátor, který se často používá pro klasifikaci kvůli jeho velké přesnosti a schopnosti pracovat s vícedimensionálními daty. Tuto metodu používám ve své práci. SVM patří do kategorie tzv. jádrových algoritmů (kernel machines) [11], které poskytují efektivní algoritmy pro nalezení lineární hranice a zároveň jsou schopny zpracovávat vysoce složité nelineární funkce. Jedním se základních principů je transformace nelineárního vstupního prostoru do jiného, vícedimensionálního, kde již lze od sebe lineárně oddělit třídy. Tato myšlenka je v podstatě jednoduchá. Na obrázku 4.3 v levo ve dvourozměrném prostoru jsou dvě třídy, oddělené nelineární kružnicí, které jsou transformovány do jiného prostoru (future space) pomocí nelineární funkce  $\Phi$ . Vzniklý prostor na obrázku 4.3 v pravo je vícedimensionální, který už umožňuje oddělit obě třídy lineární rovinou.

Základní funkcí SVM je nalezení oddělující roviny mezi dvěma třídami dat. K nalezení roviny pomáhají podpůrné vektory (support vectors) 4.4c, které leží na okraji prázdné oblasti a přímo ovlivňují řešení. Čím budou mít větší vzdálenost od oddělující roviny tím lepší výsledný klasifikátor. Kdyby se ostatní data vypustila z trénovacího setu, výsledek by se nezměnil. Na obrázku 4.4a a 4.4b jsou znázorněny neoptimální rozdělení rovinou a na obrázku 4.4c je zobrazeno optimální rozdělení.

Více informací o SVM, lze získat v článku [13].



Obrázek 4.4: SVM - odělovací rovina

## 4.5 Implementace

V této části kapitoly se budu věnovat popisu trénování modelů pro kaskádu SVM. A na závěr popisu implementaci výsledné aplikace.

### Návh kaskády SVM

Při návrhu klasifikátoru jsem vycházel z myšlenky práce Viola & Jones [20], kde autoři vytvořili kaskádu slabých klasifikátorů. A v každém kroku procesu se snažili, vždy eliminovat nejvíce negativních snímků a až ve výsledku jim zůstanou jenom pozitivní objekty. Na základě této myšlenky jsem si vytvořil binární klasifikátor, který je prvním stupněm kaskády a jeho účelem je eliminovat negativní vzorky a předat dál hledané objekty druhému klasifikátoru, který klasifikuje vzorky do tříd a tvoří tak druhý a konečný stupeň kaskády.

Při testování kaskády klasifikátorů jsem si všiml, že binární klasifikátor označí pár vzorků jako falešně pozitivní a klasifikátor složený jenom z dopravních značek je označí jako dopravní značky s konkrétní třídou.

### Trénování kaskády SVM

V této sekci bude popsán postup trénování a volba vhodných parametrů. Z návrhu je patrné, že se kaskáda skládá ze dvou klasifikátorů, které využívají odlišné trénovací modely.

Z počátku jsem používal binární soubory dostupné v knihovně LibSVM a to pro trénování konkrétně *svm-train* a pro klasifikaci *svm-predic*. Binární soubory očekávaly na vstupu vytvořené modely ve správném formátu požadované knihovnou LibSVM. Popis vytvoření modelů pro kontrétní klasifikátory je popsán v kapitole 4.2. Využíval jsem jej i pro hromadné trénování modelů, při hledání optimálních parametrů.

Později jsem si implementoval vlastní program *trainSign* pro trénování využívající funkce z *svm.cpp* a *svm.h* dostupné z knihovny. Program je implementovaný v jazyce C++ a při spuštění očekává trénovací model. Načte trénovací model, zjistí se délka příznakových descriptorů a počet vzorků. Podle získaných hodnot se alokuje paměť ve struktuře *svm\_model* a pomocí automatu jsou do ní ukládány hodnoty tříd a hodnoty descriptorů. Po načtení souboru je struktura předaná funkci *train* z knihovny, která vrací natrénovaný model a pro uložení modelu na pevný disk je volaná funkce *save\_to\_file*.

Vyzkoušel jsem přesnost klasifikace natrénovaných modelů s využitím lineárního kernelu a kernelu RBF. Ukázalo se, že klasifikace pomocí RBF kernelu je přesnější, ale proces trénování a klasifikování je pomalejší. Ve své práci požaduji více přesnost a tak jsem zvolil kernel RBF.

Na základě testování jsem zjistil, že klasifikace s základními parametry při trénování není ideální. Velká část pozitivních vzorků v případě binárního klasifikátoru byla označena jako falešně negativní. Po prostudování manuálu ke knihovně LibSVM jsem zjistil, že zlepšit výsledky klasifikace mohou parametry  $-c$  a  $-g$ . Parametr  $-c$  může být měněn od hodnoty  $2^{-5}$  až po hodnotu  $2^{15}$ . Používá se k posunutí oddělovací roviny mezi třídami dat. Čím víc bude hodnota parametru  $c$  větší, tak tím víc se rozhodovací rovina přikloní k menší skupině třídy. V případě malé hodnoty se bude přiklánět k větší skupině. Defaultní hodnota je na stavena na 1. Parametr  $-g$  může být měněn od hodnoty  $2^{-15}$  až po hodnotu  $2^3$ . Je to konstanta pro funkci kernelu. Defaultně bývá nastavena jako:

$$g = \frac{1}{\text{delka vektoru descriptoru}} \quad (4.2)$$

Podle článku [1], ve kterém se používá stejná datová sada jako v mé práci, jsem volil parametr  $c = 10$ . Výsledky byly mnohem lepší. Experimentoval jsem s různými hodnotami  $c$  a  $g$  a na základě článku, kde používají opět stejnou datovou sadu, jsem volil hodnoty  $c = 10$  a  $g = 0.01$ . Výsledky byly nepatrně lepší. Takto získané parametry jsou platné jenom pro klasifikátor do více tříd. Protože ve své práci používám i binární klasifikátor s vlastní negativní datovou sadou, tak jsem si vytvořil script pro nalezení optimálních parametrů. Na základě experimentování a článku [kaskada], jsem měnil hodnotu  $c$  od 1 do 20. A hodnotu  $g$  od 1 do 0.00781, kterou jsem získal vždy jako polovinu hodnoty z předešlého kroku. A z vyhodnocení byly získány nejlepší parametry  $c = 14$  a  $g = 0.00391$ . Hledání parametrů je implementováno ve scriptu *train.py*, který využívá binární soubory pro trénování a klasifikaci.

Vyzkoušel jsem i několik modelů sestaných s různou velikostí datové sady. Testoval jsem model s relativně malou datovou sadou přibližně 2 000 snímků, střední 20 000 snímků a výslednou se 40 000 snímků. Se vzrůstajícím počtem snímků v negativní sadě se i zlepšovala přesnost klasifikace, ale také se i zvětšovala velikost modelu. Velikost 40 000 snímků negativní datové sady je vytvořen na základě čtení manuálu k LibSVM, kde je doporučeno mít vyváženou datovou sadu. V případě nevyvážené datové sady, je možné nastavit váhové hodnoty pro rozhodování.

Zkoušel jsem použít pro natrénování modelu i SVM z OpenCV 4.1, které je založené na LibSVM. Výsledky z testování byly nepatrně horší se stejnými parametry. Důvodem je, že OpenCV používá starší verzi LibSVM. A natrénované modely nejsou vzájemně kompatibilní tak jsem to to řešení ve své práci nepoužil.

## Výsledná aplikace

Tato sekce bude věnována nejprve popisu implementace kaskády SVM a v závěru popisu modelu, který jsem předal Honzovi Duškovi.

Výsledná aplikace je implementována v *classifySign* a je napsaná v jazyce C++. Jsou realizovány dva moduly pro práci s binárním klasifikátorem a s klasifikátorem do tříd. Výstupem je buď soubor klasifikovaných hodnot a nebo slovní pojmenování dopravních značek v českém jazyce, který je platný jenom pro datovou sadu německých dopravních značek 2.3.



Program očekává testovací soubor ve formátu platný pro LibSVM. Testovací soubor může obsahovat i jedinný vzorek. Načtou natrénované modely pro oba stupně kaskády. Následně se čte z testovacího souboru jenom vždy jeden řádek a hodnoty jsou uloženy do struktury *svm\_node*. Následně je volaná funkce pro klasifikování z *svm.cpp*, která vrací *double* hodnotu a po vyhodnocení jestli je to hledaný objekt se předá *svm\_node* druhému klasifikátoru na vyhodnocení. A získaná hodnota třídy je zapsána do souboru. V případě, kdy binární klasifikátor označí vzorek jako negativní, tak struktura se nepředává dál a čte se další testovací vzorek z testovacího souboru.

Jelikož kolega nemohl ve své práci využít natrénovaný model provedl jsem přepočítání z modelu pro binární klasifikátor. Program je implementovaný v *extractModel* a pomocí jazyky C++ a využívá knihovní funkce z knihovny LibSVM. Program načte model do struktury *svm\_model* pomocí funkce *loadModelFromFile()* a získá tak potřebné hodnoty konstant. Následně se hodnoty modelu se stejným pořadím vynásobí mezi sebou s konstantou  $\alpha$ , která vyjadřuje hodnotu konkrétní třídy zařazení vzorku a získané výsledky jsou postupně ukládány do pomocného vektoru. Délka vektoru je daná délkou vektoru descriptorů na základě, kterých byl natrénovaný model. Po provedení výpočtu je obsah v pomocném vektoru uložen do souboru na pevný disk.



## Kapitola 5

# Experimenty a vyhodnocení

V této kapitole se budu věnovat vyhodnocení výstupu klasifikátoru dopravních značek, který byl implementovaný v kapitole 4.5 a také vyhodnocení natrénovaných modelů. Pro vyhodnocení klasifikovaných objektů je použita charakteritika  $F - measure$ , která je popsána v kapitole 5.1. V první části kapitoly budou popsány metriky pro vyhodnocení modelu, následně vyhodnocení a závěr kapitoly bude věnovaný experimentům.

Pro natrénování a vyhodnocení klasifikátoru jsem využíval převedené snímky na příznaky pomocí práce Jana Duška [7].

### 5.1 Metriky pro vyhodnocení kvality modelu

V této kapitole budou popsány metriky, které se používají k vyhodnocení natrénovaného modelu. Při psaní této kapitoly jsem čerpal informace z [10] a [2].

#### Matice záměn

Matice záměn (confusion matrix) je užitečný nástroj k určení jak dobře nebo s jakou přesností klasifikátor rozpoznal testovací data a zařadil do tříd. Matice záměn viz tabulka 5.1, je to čtvercová matice o velikosti daných počtem tříd, do kterých se provádí klasifikace. V matici řádky představují třídy ve kterých je správná klasifikace a sloupce značí klasifikované třídy pomocí natrénovaného modelu. Tabulka 5.1 zobrazuje případ, kdy klasifikátor data zařazuje do dvou tříd, pozitivní a negativní.

Vysvětlení pojmů, které se vyskytují v tabulce:

- True Positive (TP) - vzorek patří do pozitivní třídy a je klasifikátorem označený správně pozitivní
- False Negative (FN) - vzorek patří do pozitivní třídy a je klasifikátorem označený chybně negativní
- True Negative (TN) - vzorek patří do negativní třídy a je klasifikátorem označený správně negativní
- False Positive (FP) - vzorek patří do negativní třídy a je klasifikátorem označený chybně pozitivní

Hodnoty TP a TN udávají jak klasifikátor správně klasifikoval data a zatímco hodnoty FP a FN udávají chybnou klasifikaci. V tabulce mohou být navíc řádky a sloupce, pro

celkové součty. V tabulce mohou být ještě uvedeny řádky a sloupce pro celkový počet klasifikovatelných tříd. Kde P a N udávají celkový počet správně klasifikovaných vzorků a to pozitivně nebo negativně. P' a N' opět udávají počet, ale klasifikované vzorky modelem a to pozitivně nebo negativně.

	Klasifikace modelem		
Správná klasifikace	Pozitivní	Negativní	Celkem
Pozitivní	TP	FN	P
Negativní	FP	TN	N
Celkem	P'	N'	P + N

Tabulka 5.1: Matice záměn

Na základě matice záměn lze spočítat různé charakteristiky k určení vyhodnocení modelu:

**Úspěšnost** (accuracy)

$$ACC = \frac{TP + TN}{P + N} \quad (5.1)$$

Úspěšnost vrací hodnotu v procentech jak klasifikátor správně klasifikoval testovací data. Metoda je závislá na složení testovacích datech, které snadno můžou vést k chybnému vyhodnocení.

**Chyba** (error)

$$ERR = \frac{FP + FN}{P + N} \quad (5.2)$$

Celková chyba vyjadřuje relativní počet chybných rozhodnutí systému. Společně s úspěšností slouží jako nejjednodušší charakteristika vyhodnocení.

**Úplnost** (Senzivita)

$$SENS = \frac{TP}{P} = \frac{TP}{TP + FN} \quad (5.3)$$

Úplnost je charakteristika, která říká kolik z hledaných objektů bylo úspěšně nalezeno.

**Specifita** (Specificity)

$$SPEC = \frac{TN}{N} = \frac{TN}{TN + FP} \quad (5.4)$$

Specifita je charakteristikou, která určuje jak byly správně klasifikované nehledané objekty. Není doporučeno používat ji jako jedinnou charakteristiku. Mohlo by to vést k chybným závěrům o kvalitě systému. Je to tedy poměr správně negativních vzorků oproti všem negativně označených vzorků.

**Přestnost** (Precision)

$$PREC = \frac{TP}{TP + FP} \quad (5.5)$$

Přestnost je charakteristika určující jak klasifikátor správně klasifikoval hledané objekty. Není doporučeno používat ji jako jedinnou charakteristiku. Mohlo by to vést k chybným

závěrům o kvalitě systému. Je to tedy poměr správně pozitivních vzorků oproti všech pozitivně označených vzorků.

**Efektivita** (Efficiency)

$$EFF = \frac{SENS + SPEC}{2} \quad (5.6)$$

Efektivita reprezentuje průměr mezi senzivitou a specifitou a výsledek vrací v procentech. Optimální hodnota je 100%, ale toho se zřítka dosáhne.

**F-míra** (F-measure)

$$F = \frac{2 * presnost * uplnost}{2 * presnost + uplnost} = \frac{2TP}{2TP + FP + FN} \quad (5.7)$$

F-míra je souhrnná charakteristika přestnosti klasifikace. Nejlepší hodnota vyhodnocení dosahuje 1 a nejhorší 0.

## 5.2 ROC křivka

Pracovní charakteristika přijímače (**R**eciever **O**perating **C**haracteristic) je užitečný vizuální nástroj pro porovnání dvou modelů. ROC křivka vznikla během druhé světové války pro analyzování radarových snímků. Tato křivka dává do souvislosti vztah mezi specificitou 5.4 a senzitivitou 5.3 pro všechny hodnoty prahu  $\theta$ . Tedy křivka dává do poměru správně klasifikované pozitivní vzorky a chybně klasifikované negativní vzorky jako pozitivní.

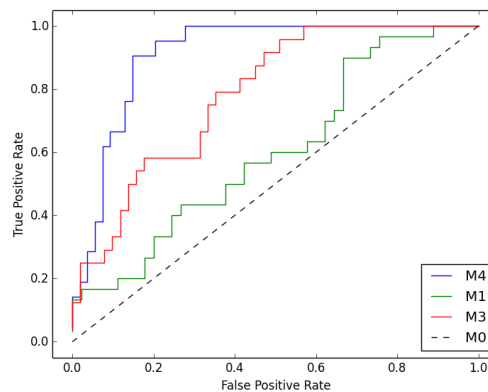
### Graf ROC křivky

Grafem ROC křivky je dvourozměrný graf, kde na ose  $x$  je zobrazena pravděpodobnost chybné klasifikace negativních vzorků a na ose  $y$  pravděpodobnost správné klasifikace pozitivních vzorků. Pro každou hodnotu prahu  $\theta$ , lze získat jeden bod na ROC křivce. Pro realizaci Roc křivky jsem vycházel z [9].

Na obrázku 5.1 je znázorněna ROC křivka se čtyřmi průběhy. Kde M0 zobrazuje průběh náhodného prediktoru. Bude-li průběh pod touto diagonálou tak je to nevyhovující stav a řešením je převrátit výsledky klasifikátoru. Z grafu je patrné, že ROC křivka vždy prochází počátečním bodem (0,0) a koncovým bodem (1,1). Průběh křivky je neklesající. Průběh M3 je považován za normální a bude-li se průběh křivky blížit průběhu M4, jde o ideální stav. Kdy klasifikátor zařadil většinu vzorků správně do tříd. Ideální křivka začíná v bode (0,0), pokračuje do bodu (0,1) a následně do bodu (1,1).

velikost AUC	hodnocení
0.5 - 0.6	nedostatečně
0.6 - 0.7	dostatečně
0.7 - 0.8	dobře
0.8 - 0.9	velmi dobře
0,9 - 1.0	výborně

Tabulka 5.2: Tabulka hodnot AUC



Obrázek 5.1: ROC křivka

### Plocha pod ROC křivkou - AUC

Plocha pod ROC křivkou (**A**rea **U**nder the **R**OC **C**urve) slouží k porovnání ROC křivek a to buď vizuálně a nebo početně. Hodnota bude vždy mezi  $< 0; 1 >$ . Z poznatku o náhodném prediktoru, který nebude klesat pod 0,5, bude výsledná hodnota mezi 0.5 – 1. AUC vyjadřuje kromě plochy pod křivkou také míru uspořádanosti vzorků.

Na tabulce 5.2 je zobrazení ohodnocení testu podle plochy pod křivkou:

Jedným z možných použití AUC je pravděpodobnost jak vybraný vzorek byl klasifikovaný do tříd.

### Implementace ROC křivky

Ve své práci jsem implementoval vlastní ROC křivku zdůvodu, že dostupná existující řešení podporovaly jenom binární klasifikátor a ne klasifikátor do více tříd. Nejprve ve své práci jsem používal script na vytvoření ROC křivky od autorů knihovny LibSvm [odkaz]. Který byl implementovaný v jazyce Python a při každém spuštění docházelo k trénování a klasifikování a až pak následně na základě získaných vlastních hodnot se vytvořila ROC křivka. To mě později přestalo vyhovovat a nazákladě toho scriptu jsem si vytvořil vlastní script *binary\_roc.py* pro binární klasifikátor, který už neprováděl trénování a klasifikaci a využívá už klasifikované hodnoty. Script očekává model, který byl použit na testování a soubor, který obsahuje klasifikované hodnoty. Nejprve se získají hodnoty označující třídy z testovaného modelu a následně se načtou klasifikované třídy. Získané hodnoty jsou pak předané funkci *plot\_roc()*, která pro vykreslení křivky provede kroky:

- Získá se počet  $P$  pozitivních tříd a počet  $N$  všech negativních tříd
- Do pomocného pole se uloží testované a klasifikované vzorky. Pole je pak setříděno setupně podle klasifikovaných hodnot
- Setříděné pole se prochází a počítá se matice záměn, která je popsána v kapitole 5.1, pro hodnoty  $TP$  a  $TN$ . Výpočet senzivity je ukládán do pole  $tpr = TP/P$  a výpočet specifity je ukládán do pole  $fpr = TN/N$ .
- Výpočet plochy pod křivkou
- Vykreslení křivky na základě hodnot v  $tpr$  a  $fpr$

Takto popsaný algoritmus není efektivní a používal jsem jej ze začátku. Algoritmus jsem upravil, že už není potřeba počítat počet všech pozitivních i negativních tříd v testovacím modelu a při počítání matice záměn jsem zahrnul i výpočet pro hodnoty  $FP$  a  $FN$ . Na základě získaných hodnot  $TP$ ,  $TN$ ,  $FP$  a  $FN$  je vždy pro každý krok spočítaná senzitivita podle rovnice 5.3 a specifita podle rovnice 5.4.

Další výhodou ROC křivky, kromě zobrazení kvality natrénovaného modelu klasifikátoru, je že pomocí prahu  $\theta$  se může ovlivňovat citlivost klasifikátoru a zobrazit jeho ROC křivka, aniž by se musel znovu natrénovat. Pomocí prahu  $\theta$  rozhodování, se budou měnit hodnoty  $TP$ ,  $TN$ ,  $FP$  a  $FN$  a tím pádem i ROC křivka. Na základě toho poznatku, jsem upravil výstup klasifikátoru, aby místo tříd zařazení vracel míru zařazení mezi 0 až 1. Kde hodnota 1 značí, že daný vzorek patří do konkrétní třídy. Následně byl upravený script, aby ty to hodnoty načetl. Proces vykreslení křivky je stejný jako v předešlém kroku.

Pro klasifikátor do více tříd je implementovaná ROC křivka v samostatném scriptu *multiclass\_roc.py*. Výpočet křivky se provádí stejným způsobem jako pro binární klasifikátor, ale v tom to případě se vykreslí  $n$  křivek podle počtu tříd. Script při načítání hodnot si uloží hodnoty tříd a pak jsou následně procházeny postupně. Zkoumaná třída se vždy označí za kladnou a ostatní třídy na záporné, přičemž hodnoty tříd jim zůstanou. Takto upravené hodnoty tříd jsou ukládány do pole, které je setříděno a provede se stejné vyhodnocení ROC křivky jako v předešlém kroku.

Ve své práci využívám ROC křivky s prahem pro vyhodnocení natrénovaného modelu a pak ROC křivky se stupem s klasifikovanou třídou z výstupu kaskády klasifikátorů.

## 5.3 Vyhodnocení

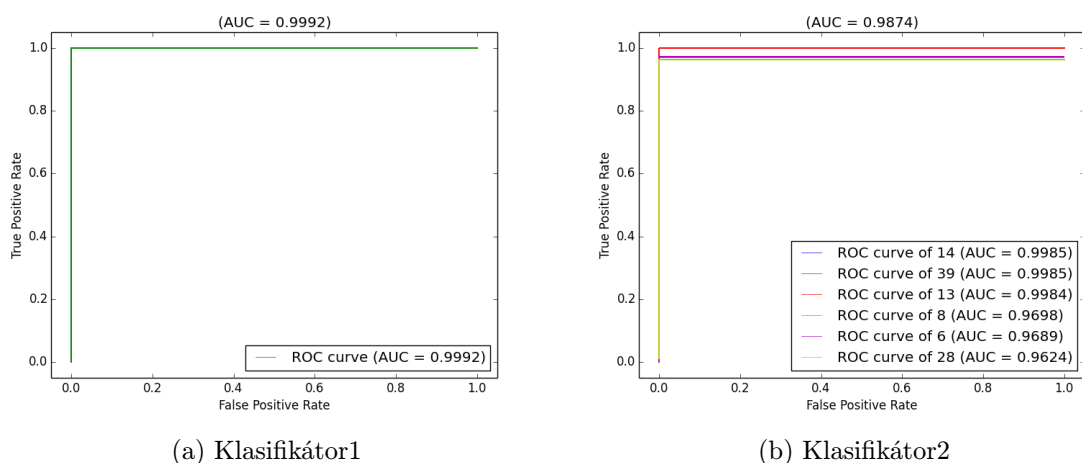
Tato část kapitoly se bude zabývat vyhodnocením modelů vytvořených ze třech datových sad německé, belgické a evropské. Výsledky jsou měřeny pro tři klasifikátory. Kde *klasifikátor1* značí binární klasifikátor, který hledaný objekt předává dál dalšímu klasifikátoru. *Klasifikátor2* klasifikuje předaný objekt od binárního klasifikátoru do tříd. Je výhradně vytvořený jenom ze značek. Jelikož binární klasifikátor není dokonalý, tak *klasifikátor3* je tvořený třídami dopravních značek a jednou třídou s pozadím. Jeho úkolem je falešné pozitivní objekt klasifikovat jako pozadí. Výslední hodnoty klasifikátoru 1 a 2 jsou dány průměrem všech tříd

Trénování a vyhodnocení bylo provedeno na notebooku Lenovo E530 s procesorem Intel Pentium B970 @ 2.30GHz a pamětí 8GB.

### Vyhodnocení modelu německých dopravních značek

Pro natrénování modelu německých dopravních značek byla použita datová sada 2.3. pro binární *klasifikátor1* je využita trénovací sada přibližně o 40 000 snímcích, kterým je přidána negativní datová sada o 40 000 snímcích. *Klasifikátor2* do více tříd je natrénovaný na značkách a stejném počtu rozdělených do 43 tříd. A v případě *klasifikátoru3* model natrénovaný stejně jako předchozí a přidána jedna třída s počtem 3 000 snímků okol9. Všechny natrénované modely do více tříd byly natrénované s parametrem  $-c\ 10$  a  $-g\ 0.01$  a binární klasifikátor s parametrem  $-c\ 14$  a  $-g\ 0.015625$ .

Na obrázku 5.2a je znázorněná ROC křivka binárního klasifikátoru a na obrázku 5.2b je ROC křivka *klasifikátoru2* do více tříd. Kde jsou zobrazeny 3 nejlepší průběhy a 3 nejhorší průběhy křivek.



Obrázek 5.2: ROC křivka trénovacího souboru vytvořeného křížovou validací

V tabulce 5.4 jsou zobrazeny výsledky klasifikace na testovacím modelu vytvořený křížovou validací:

Počet	<i>Klasifikátor 1</i>	<i>Klasifikátor 2</i>	<i>Klasifikátor 3</i>
26 442	99,91%	98,91 %	% 98,90

Tabulka 5.3: Úspěšnost na testovacím souboru vytvořený pomocí křížové validace.

Součástí datové sady je i testovací sada, která obsahuje přibližně 12 600 souborů značek, ke které jsem přidal přibližně 20 000 snímků z okolí. Takto vzniká testovací sada pak byla klasifikována. Na následující tabulce jsou uvedeny dostupné výsledky.

Počet	<i>Klasifikátor 1</i>	<i>Klasifikátor 2</i>	<i>Klasifikátor 3</i>
32 608	99,97%	99,12 %	99,18 %

Tabulka 5.4: Úspěšnost na testovacím souboru vytvořený pomocí křížové validace.

## Vyhodnocení modelu belgických dopravních značek

Pro vyhodnocení modelu belgických dopravních značek byla použita datová sada 2.3. *Klasifikátor1* je složen z přibližně 4 500 snímků dopravních značek pro trénování a z přibližně 5 000 snímků pozadí. *Klasifikátor2* je natrénovaný jenom pomocí značek rozdělených do 62 tříd. *Klasifikátor3* je natrénovaný stejně jako *klasifikátor2*, ale je zde přidána jedna třída navíc s počtem 1 000 snímků pozadí. Všechny natrénované modely byly natrénované s parametrem  $-c 10$  a  $-g 0.001$ .

Na tabulce 5.5 jsou zobrazeny výsledky klasifikace na testovacím modelu vytvořený křížovou validací:

Součástí datové sady je i přibližně 2 500 snímků pro trénování, které jsem přidal přibližně 3 000 snímků pro pozadí. Klasifikované hodnoty jsem porovnával s anotacemi a výsledky testování jsou zobrazeny v následující tabulce:

Počet	<i>Klasifikátor 1</i>	<i>Klasifikátor 2</i>	<i>Klasifikátor 3</i>
3 193	99,47%	85,70 %	85,88 %

Tabulka 5.5: Úspěšnost na testovacím souboru vytvořený pomocí křížové validace.

Počet	<i>Klasifikátor 1</i>	<i>Klasifikátor 2</i>	<i>Klasifikátor 3</i>
5 526	99,76%	77,26%	77,26získaných%

## Vyhodnocení modelu evropských dopravních značek

Pro vyhodnocení modelu evropských dopravních značek byla použita datová sada 2.3. Pro trénování binárního *klasifikátoru1* byla použita datová sada značek přibližně o 2 300 souborů, kterým jsem přidal přibližně 3 000 snímků s okolím. Všechny natrénované modely byly natrénované s parametrem *-c 10*.

Bohužel součástí není testovací sada a následující tabulka zobrazuje výsledky testovacího souboru vytvořený křížovou validací.

Počet	<i>Klasifikátor 1</i>	<i>Klasifikátor 2</i>
1 777	99,34%	69,69%

## Vyhodnocení výsledků

Z naměřených hodnot pomocí *F-measure* je patrné, že přesnost klasifikace je ovlivňována velikostí datové sady. Natrénovaný model pro německé dopravní značky 5.3 se složením 40 000 snímků pozitivních objektů a 40 000 negativních snímků dosahoval úspěšnosti až 99,12 %. Oproti tomu natrénovaný model pro evropské dopravní značky s datovou sadou 40x menší dosahoval úspěšnosti ani ne 70 %. Všechny binární klasifikátory mají vysokou úspěšnost, to je dáno větší datovou sadou při trénování. Naproti tomu klasifikátory do tříd pro belgické a evropské značky mají horší výsledky, neboť u belgických značek je v průměru 75 značek na třídu a u evropských značek 22 snímků na třídu. Na základě výsledků je to nedostatečné. Model pro německé dopravní značky obsahuje 918 snímků na třídu.

Dále na základě výsledků lze vypožorovat, že *klasifikátor2* správně klasifikoval vzorky, které binární klasifikátor označil chybně jako falešné pozitivní.

## 5.4 Experimenty

V této části kapitoly budou provedeny a popsány experimenty.

### Experiment č.1 - Klasifikace jedinným modelem

Cílem toho experimentu je ověření, že klasifikace pomocí kaskády klasifikátorů dosahuje lepších výsledků než řešení implementované v jednom modelu. Model je složený z datového setu německých dopravních značek 2.3 přibližně o 40 000 snímcích, kterému je ještě přidána jedna třída z negativních snímků o velikosti přibližně 40 000. Model je natrénovaný pomocí parametru *-c 10* a *-g 0.001*.

Na tabulce 5.6 jsou zobrazeny výsledky klasifikace na testovacím modelu vytvořený křížovou validací:

Počet	<i>Klasifikátor 1</i>
26 442	96,70%

Tabulka 5.6: Úspěšnost na testovacím souboru vytvořený pomocí křížové validace.

Očekávaný výsledek je mírně horší než při použití kaskády klasifikátorů 5.4. Horší výsledek je získám tím, že v datové sadě dopravních značek jsou snímky rozmazané, pořízené za šera, v mlze. A binární klasifikátor má jednu třídu komplet sestavým z naček a tak se na nich může lépe naučit než tento model.

### Experiment č.2 - Lineární klasifikátor

Cílem toho experimentu je ověření výhod použitého RBF kernelu místo lineárního kernelu. Opět je použita datová sada s německými dopravními značkami 2.3. Pro vyhodnocení je použit model pro klasifikátor do více tříd. Na tabulce 5.7 jsou zobrazeny výsledky klasifikace na testovacím modelu vytvořený křížovou validací:

Počet	<i>Klasifikátor 1</i>
13 069	98,26%

Tabulka 5.7: Úspěšnost na testovacím souboru vytvořený pomocí křížové validace.

S porováním s tabulkou 5.4 jsou získané hodnoty pomocí lineární kernelu mírně horší.



## Kapitola 6

# Závěr

Cílem bakalářské práce je navrhnout a implementovat systém pro klasifikaci dopravních značek. Tento úkol se mě podařilo splnit. Jak je vidět v tabulce 5.4, systém dosahuje přesnosti 99% pro danou datovou sadu německých dopravních značek. Pořídil jsem si datové sady pro trénování kaskády klasifikátorů. Implementoval jsem skripty pro vytvoření modelů a podpůrné nástroje pro vyhodnocení natrénovaných modelů.

Během implementace jsem prostudoval dostupné řešení detekce dopravních značek a na základě toho jsem vytvořil vlastní systém pro klasifikaci. Systém umí klasifikovat dopravní značku z výřezu. Vytvořil jsem si vlastní datovou sadu a nad získanými datovými sadami bylo provedeno vyhodnocení systému.

Možným rozšířením práce by mohla být implementace extrakce příznaků. Nebo implementace detektoru a mít tak možnost detekovat a klasifikovat dopravní značky v reálném čase. Dalším možným řešením může být rozšíření datových sad a klasifikovat tak přesněji nebo i nové typy značek. Dalším možným rozšířením může být použití CUDA nebo OpenCL pro paralelní výpočty, pomocí kterých by bylo urychleno trénování a klasifikace.

# Literatura

- [1] Benenson, R.; Omran, M.; Hosang, J.; aj.: Ten years of pedestrian detection, what have we learned? In *ECCV, CVRSUAD workshop*, 2014.
- [2] Berka, P.: *Dobývání znalostí z databází*. Praha: Academia, vyd. 1. vydání, 2003, ISBN 8020010629.
- [3] Chang, C.-C.; Lin, C.-J.: A Library for Support Vector Machines. 2001, dostupné na <http://www.csie.ntu.edu.tw/~cjlin/libsvm>.
- [4] Chang, C.-C.; Lin, C.-J.: LIBSVM: A library for support vector machines. *ACM Transactions on Intelligent Systems and Technology*, ročník 2, 2011: s. 27:1–27:27, software available at <http://www.csie.ntu.edu.tw/~cjlin/libsvm>.
- [5] Dobeš, M.: *Zpracování obrazu a algoritmy v C#*. Praha: BEN - technická literatura, první vydání, 2008, ISBN 9788073002336.
- [6] Duda, R. O.; Stork, D. G.; Hart, P. E.: *Pattern classification*. New York, N.Y: John Wiley & Sons, druhé vydání, c2001, ISBN 0471056693.
- [7] Dušek, J.: *Detekce dopravních značek z kamery ve vozidle*. Bakalářská práce, FIT VUT v Brně, 2015.
- [8] de la Escalera, A.; Armingol, J.; Mata, M.: Traffic sign recognition and analysis for intelligent vehicles. *Universidad Carlos III de Madrid*.  
URL [http://orff.uc3m.es/bitstream/handle/10016/7089/traffic\\_escalera\\_IVC\\_2003\\_ps.pdf?sequence=1](http://orff.uc3m.es/bitstream/handle/10016/7089/traffic_escalera_IVC_2003_ps.pdf?sequence=1)
- [9] Fawcett, T.: ROC Graphs. 2004.  
URL [http://home.comcast.net/~tom.fawcett/public\\_html/papers/ROC101.pdf](http://home.comcast.net/~tom.fawcett/public_html/papers/ROC101.pdf)
- [10] Han, J.; Kamber, M.; Pei, J.: *Data mining*. Boston: Elsevier, třetí vydání, c2012, ISBN 9780123814791.
- [11] Hofmann, T.; Schölkopf, B.; Smola, A. J.: Kernel methods in machine learning: s. 1171–1220.
- [12] Houben, S.; Stallkamp, J.; Salmen, J.; aj.: Detection of Traffic Signs in Real-World Images: The German Traffic Sign Detection Benchmark. In *International Joint Conference on Neural Networks*, 1288, 2013.
- [13] Ivanciuc, O.: Applications of Support Vector Machines in Chemistry. *Applications of Support Vector Machines in Chemistry*, ročník 23, 2007: s. 291–400.

URL

[http://www.ivanciuc.org/Files/Reprint/Ivanciuc\\_SVM\\_CCR\\_2007\\_23\\_291.pdf](http://www.ivanciuc.org/Files/Reprint/Ivanciuc_SVM_CCR_2007_23_291.pdf)

- [14] Moutarde, F.; Bargeton, A.; Herbin, A.; aj.: Modular traffic signs recognition applied to on-vehicle real-time visual detection of american and european speed limit signs. URL [<http://arxiv.org/pdf/0910.1295.pdf>](http://arxiv.org/pdf/0910.1295.pdf)
- [15] Ruta, A.; Li, Y.; Liu, X.: Real-time traffic sign recognition from video by class-specific discriminative features. *Elsevier*, 2009: s. 416–430. URL [<http://people.brunel.ac.uk/~csstyyl/papers/pr2010.pdf>](http://people.brunel.ac.uk/~csstyyl/papers/pr2010.pdf)
- [16] Shojania, H.: Real-time traffic sign detection. 2003, dostupné z <http://hassan.shojania.com/pdf/TrafficSignDetection-Paper.pdf>. URL [<http://hassan.shojania.com/pdf/TrafficSignDetection-Paper.pdf>](http://hassan.shojania.com/pdf/TrafficSignDetection-Paper.pdf)
- [17] SONKA, M.; HLAVAC, V.; BOYLE, R.: *Image processing, analysis, and machine vision*. New York: PWS Publishing, druhé vydání, 1999, ISBN 0-534-95393-X.
- [18] Stallkamp, J.; Schlipsing, M.; Salmen, J.; aj.: The German Traffic Sign Recognition Benchmark: A multi-class classification competition. In *IEEE International Joint Conference on Neural Networks*, 2011, s. 1453–1460.
- [19] Timofte, R.; Zimmermann, K.; Van Gool, L.: Journal of Machine Vision and Applications (MVA 2011). In *Multi-view traffic sign detection, recognition and 3D localisation*, December 2011.
- [20] Viola, P.; Jones, M. J.: Robust Real-Time Face Detection. 2004. URL <http://www.vision.caltech.edu/html-files/EE148-2005-Spring/pprs/viola04ijcv.pdf>
- [21] ŽÁRA, J.; BENEŠ, B.; SOCHOR, J.; aj.: *Moderní počítačová grafika*. Brno: Computer Press, druhé vydání, 2004, ISBN 80-251-0454-0.

# Příloha A

## Obsah DVD

K mé práci je přiloženo jedno DVD, které obsahuje zdrojové kódy, plakát, zprávu a datové sady. Adresářová struktura přiloženého DVD:

- Aplikace
  - bin - přeložený projekt
  - src - zdrojové soubory
  - scripty - vytvořené modelů pro trénování, vyhodnocení natrénovaných modelů, práce s datovými sadami
- DataSet - obsahuje získané a v mé práci vytvořené sady
- Modely - natrénované modely, které se mohou použít pro klasifikaci
- Plakat - obsahuje plakát
- Zpráva

**Příloha B**

**Plakát**

# DETEKCE DOPRAVNÍCH ZNAČEK

AUTOR: MICHAL JURČA

VEDOUČÍ: Ing. VÍTĚZSLAV BERAN, Phd.

Cíl: klasifikace dopravních značek na základě dostupných datových sad.

## Datové sady

Vlastní negativní sada obsahující cca 60 tisíc snímků okolí bez značek.

### Německé značky



Pro každý typ značky:  
cca 918 snímků

Úspěšnost klasifikace: 98,91 %

43 typů značek

### Evropské značky



Pro každý typ značky:  
cca 22 snímků

Úspěšnost klasifikace: 77,26 %

106 typů značek

### Belgické značky

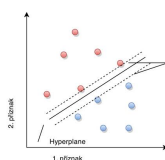


Pro každý typ značky:  
cca 75 snímků

Úspěšnost klasifikace: 85,70 %

62 typů značek

## Klasifikace



Support vector machine  
Kaskáda klasifikátorů  
LibSVM